

تأثیر خروج از مرکزیت درون صفحه‌ای اتصال اعضای مهاربندی به تیر و ستون بر عملکرد قاب‌های فولادی*

(یادداشت پژوهشی)

حامد بلندی^(۱)سید مهدی زهرائی^(۲)

چکیده یکی از معضلات اساسی در وضعیت ساخت و ساز عدم رعایت دقیق مقررات لرزه‌ای است. مطابق با آیین‌نامه‌های متداول ساختمانی، راستای مهاربندی باید از محل تقاطع میان تیر و ستون عبور کند؛ اما متأسفانه در بسیاری از ساختمان‌های فولادی در حال اجرا مشاهده می‌شود که مهاربندها اگر چه در صفحه‌ی میانی قاب قرار دارند، اما به صورت خارج از مرکز در محل اتصال اجرا می‌شوند. واضح است که یکی از عوامل مؤثر در عملکرد مهاربندها شرایط اتصال آن‌ها می‌باشد. در این رابطه، این مقاله خروج از مرکزیت درون صفحه‌ای در قاب‌های دارای مهاربند قطری را به روش اجزای محدود غیر خطی توسط نرم افزار ANSYS مورد بررسی قرار داده است. در این بررسی مشاهده شد که حاشیه‌ی اطمینانی برای عدم رعایت قوانین آیین‌نامه در قاب‌های دارای خروج از مرکزیت درون صفحه‌ای عبوری از تیر وجود دارد؛ اما در خروج از مرکزیت درون صفحه‌ای عبوری از ستون هیچ گونه حاشیه اطمینان و منطقه‌ای امن برای عدم رعایت قوانین آیین‌نامه مشاهده نشد. نمونه‌ها نیز با ایجاد کوچکترین خروج از مرکزیت، عملکرد نامناسبی نشان دادند. در انتها راه‌کارهایی برای کاهش اثرات خروج از مرکزیت نامطلوب ارائه شده است.

واژه‌های کلیدی خروج از مرکزیت درون صفحه‌ای، اتصالات مهاربندی، عملکرد قاب‌های فولادی، تحلیل استاتیکی غیر خطی.

Influence of In-Plane Eccentricity in Connection of Bracing Members to Columns and Beams on Performance of Steel Frames

H. Bolandi

S. M. Zahrai

Abstract Steel structures are usually built with some defects. According to the standard building codes, the central axes of the bracing members should go through the beam-column joints. However, in most of the braced steel structures, bracing members are unintentionally connected eccentrically. This paper presents a numerical investigation on performance analysis of CBFs (Concentrically Braced Frames) having unwanted in-plane eccentricities at the connection of their braces. Nonlinear behavior analyses are taken as numerical examples. Finite element modeling of the whole members is conducted using ANSYS analyzing program. Numerical results show that in-plane eccentricities in beams can be acceptable within a safe region (max. 10cm for this specific case). However, no safe region is found for in-plane eccentricity in columns since the strength loss may be significant. Finally, some suggestions are made for decreasing constructional shortcomings of eccentric connections.

Keywords In-plane eccentricity, Bracing connections, performance, steel frames

* تاریخ تصویب مقاله ۹۰/۷/۹ و تاریخ دریافت نسخه نهایی اصلاح شده ۹۰/۱۱/۱۶

(۱) نویسنده‌ی مسئول: کارشناس ارشد سازه، گروه عمران دانشگاه آزاد اسلامی، واحد بندر عباس.

(۲) دانشیار قطب علمی مهندسی و مدیریت زیرساخت‌ها، دانشکده عمران دانشگاه تهران.

مقدمه

با وجود لرزه‌خیزی بالای اغلب نقاط پر جمعیت کشور و آسیب‌پذیری ساختمان‌ها بر اساس تجربیات زلزله‌های گذشته، هنوز توجه کافی به ساخت و ساز صحیح نمی‌شود. عدم رعایت ضوابط مقررات ملی طرح و اجرای ساختمان‌های فولادی موجب شده است که در زلزله‌های گذشته مثل منجیل، چنگوره، سفیدابه، گلستان، اردبیل و بزم خسارت‌های چشمگیری به ساختمان‌های موجود وارد شود [۹]. عدم رعایت ضوابط ذکر شده که معمولاً به علت سهل‌انگاری و یا عدم تسلط مهندس ناظر ایجاد می‌شود باعث به وجود آمدن نگرانی‌های اساسی در این زمینه شده است که مجامع علمی و تحقیقاتی کشور سعی در برطرف شدن این مشکلات دارند.

در همین زمینه ریچارد در سال ۱۹۸۶ با مدل‌سازی ۶۰ نمونه‌ی مختلف اجزای محدود به بررسی تنش در صفحه اتصال‌ها و هم‌چنین به بررسی خروج از مرکزیت راستای مهاربندی پرداخت. ریچارد به ایجاد خروج از مرکزیت بین ۱۴ تا ۸- اینچ در صفحه اتصال‌هایی با ابعاد مختلف پرداخت. ریچارد نشان داد در حالی که راستای مهاربندی از محل تقاطع میان تیر و ستون (نقطه عملکرد) عبور نکند، ابعاد صفحه اتصال به صورت چشمگیری کاهش پیدا می‌کند و این کاهش منجر به مقاومت کم‌ترش بالاتری در صفحه اتصال می‌شود و هنگامی که راستای مهاربندی از نقطه‌ی عملکرد عبور نمی‌کند، لنگری در اتصال به وجود می‌آید که می‌بایست توسط قاب تحمل شود. اگر قاب توسط برنامه‌ی کامپیوتری تحلیل شود، باید یک تیر پیوند در هر اتصال خروج از مرکز قاب مدل شود. در این مطالعه روش دیگری برای مهاربندی که راستای آن از نقطه‌ی عملکرد نمی‌گذشت به کار گرفته شد. در این روش قاب با اتصال خروج از مرکز تحلیل شد و نیروهای اولیه‌ی اعضا به دست آورده شد و سپس با

توزیع لنگرها در قاب، نیروی ثانویه‌ی ناشی از خروج از مرکزیت اتصالات به دست آمد و سپس اعضای قاب با ترکیب نیروهای ثانویه و اولیه اعضا به دست آمد [۱].

گراس و چاک در سال ۱۹۸۸ به بررسی اتصال خروج از مرکز مهاربند حول محور ضعیف ستون پرداختند. از نتایج جالب توجه این آزمایش‌ها می‌توان به موارد زیر اشاره نمود:

نمونه‌های خارج از مرکز حول محور قوی قادر به تأمین مقاومت بیشتری نسبت به نمونه‌های هم‌گرای مشابه بودند چرا که در این حالت‌ها اندازه‌ی صفحه اتصال مورد استفاده برای مهاربند کوچکتر بود و لنگر ایجاد شده بر اثر خروج از مرکزیت نیز توسط اعضای قاب قابل تحمل بود. سختی نمونه‌ی هم‌گرا حول محور قوی بیشتر از نمونه‌ی خارج از مرکز مشابه بود چرا که اگرچه در هر دو، نیروی نهایی اتصال یکسان بود لیکن مدهای خرابی تفاوت داشت. در نمونه‌های خارج از مرکز، ممان ناشی از خروج از مرکزیت تقریباً به نسبت سختی اعضای متصل به گره تقسیم می‌شد. لنگر به وجود آمده به علت خروج از مرکزیت مهاربندی در اتصال حول محور ضعیف بیشتر توسط تیر تحمل می‌شد. لنگری که به علت خروج از مرکزیت در تیر و ستون بوجود می‌آمد به طور قابل ملاحظه‌ای کمتر از لنگر به وجود آمده به علت اتصال صلب تیر به ستون بود [۲]. آستانه اصل در سالهای ۱۹۸۹ و ۱۹۹۱ نتایج بارگذاری چرخه‌ای به روی سه نمونه صفحه اتصال با اتصال مهاربندی ۷ را ارائه کرد. در نمونه‌ی (۱) نقطه تلاقی مهاربندها ۲ اینچ بالاتر از محل خط جوش صفحه اتصال به بال تیر بود. در نمونه‌ی (۲) نقطه تلاقی مهاربندها روی خط جوش صفحه اتصال به تیر قرار داشت و در نمونه‌ی (۳) نقطه تلاقی طبق آئین‌نامه‌های متداول ساختمانی در محل میان تیر و راستای میان تار مهاربند (نقطه عملکرد)

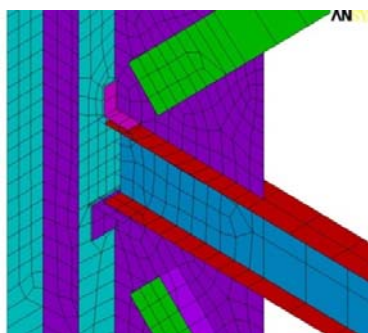
راستای مهاربند از محل تقاطع میان تار تیر و ستون) که موجب خروج از مرکزیت ناخواسته راستای مهاربند در انتهای تیر و یا ستون می‌شود مورد بررسی قرار گیرد. در پژوهش حاضر به بررسی خروج از مرکزیت درون صفحه‌ای عبوری از تیر و ستون در قاب‌های با زاویه مهاربندی ۳۰ و ۴۵ درجه با اتصال مفصلی تیر به ستون پرداخته شده است. قابل ذکر است که ابعاد صفحه اتصال بر خلاف کارهای پژوهشی ذکر شده یکسان فرض شده است. جزئیات به کار رفته در این مقاله (به کاربردن نبشی‌های اتصال به همراه ورق اتصال مهاربند با خروج از مرکزیت) به هیچ عنوان مورد تایید نیست و صرفاً چون در اجرا به اشتباه به کار برده می‌شود در این مقاله مورد بررسی قرار گرفته است.

مطالعه‌ی عددی

در پژوهش حاضر با توجه به این که مطالعه در اعضای مجاور صفحه اتصال اهمیت ویژه‌ای دارد، زیر سازه مدل شده شامل اجزای اتصال و اعضای مجاور (تیر و ستون) می‌باشد. زیر سازه‌های مدل‌سازی شده، قاب‌های یک دهانه، دو طبقه با مهاربند قطری با زوایای مهاربندی ۳۰ و ۴۵ درجه می‌باشد. در هر قاب با زاویه مهاربندی مشخص، شش نوع خروج از مرکزیت درون صفحه‌ای اعمال شد. در سه مدل آن خروج از مرکزیتی برابر ۵، ۱۰ و ۱۵ سانتی‌متر (راستای مهاربندی به جای این که از محل تقاطع میان تار تیر و ستون عبور کند از تیر عبور می‌کند) (شکل ۲) و در سه مدل دیگر خروج از مرکزیتی برابر ۵، ۱۰، و ۱۵- (راستای مهاربندی از ستون عبور می‌کند) (شکل ۳) اعمال شد. سازه‌های مهاربندی در محل اتصال صفحه اتصال به تیر و ستون نسبت به سایر قسمت‌های مدل ریزتر در نظر گرفته شد تا بتوان اثرات خروج از

قرار داشت. بررسی نشان داد که در نمونه‌ی (۱) با بیشترین خروج از مرکزیت در صفحه اتصال، بهترین رفتار و بیشترین شکل پذیری چرخه‌ای وجود دارد. در این نمونه، نقطه تلاقی اعضای مهاربندی ۲ اینچ بالاتر از بال تیر قرار داشت. در نتیجه ۲ اینچ طول آزاد در صفحه اتصال برای تسلیم برشی وجود داشت. این ناحیه غیر ارتجاعی همانند یک فیوز لرزه‌ای شکل پذیر و مستهلک‌کننده‌ی انرژی عمل کرد. این فیوز می‌تواند مقداری از انرژی موجود در اعضای مهاربندی و قاب‌های مهاربندی را کنترل کند [3,4]. همچنین آستانه اصل نشان داد که کماتش خارج از صفحه، صفحات اتصال و رشد نامناسب مفاصل پلاستیک در صفحه اتصال منجر به کاهش ظرفیت باربری و شکل‌پذیری اعضای مهاربندی می‌شود [5,6].

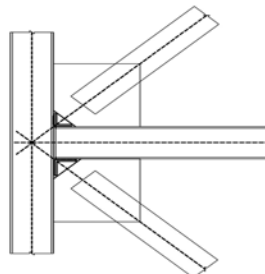
در سال ۲۰۰۸ حسینی هاشمی و همکاران به بررسی اتصال خارج از مرکز در مهاربندی شورون و قطری پرداختند. در این گزارش محققان با مقایسه بین مدل‌های همگرا و غیر همگرا نشان دادند که خروج از مرکزیت تا حدی باعث افزایش شکل‌پذیری و افزایش استهلاک انرژی می‌شود و علت این امر آن است که طول لبه‌های آزاد صفحه اتصال کوچک شدند و محل تلاقی بادبندها و تیر بالای خط جوش بود. با کاهش طول لبه‌های آزاد صفحه اتصال، مقاومت کماتشی صفحه اتصال افزایش یافت و از طرف دیگر منطقه مذکور همانند یک فیوز شکل‌پذیر، مانند مهاربندی واگرا عمل کرد. این افزایش شکل‌پذیری به علت محدود کردن تغییر شکل‌های خارج از صفحه و گسترش کرنش پلاستیک در صفحه‌ای بزرگتر در صفحه اتصال ایجاد شد [7]. به همین علت در پژوهش حاضر سعی شده است که یک مورد از موارد نقاط ضعف اجرایی که ناشی از خروج از مرکزیت درون صفحه‌ای اتصال مهاربند به صفحه اتصال (عدم عبور



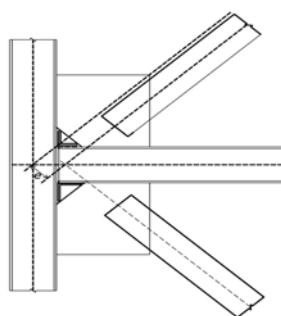
شکل ۵ نحوه مدل سازی اتصال مفصلی

جهت مدل سازی اتصال مفصلی، یک GAP دو سانتی متری بین تیر و ستون ایجاد شد. برای جلوگیری از حرکت ستون به سمت تیر در حین بارگذاری از جزء 52 CONTACT استفاده شد. همچنین برای اتصال تیر و ستون از نبشی نشیمن و نبشی نگهدارنده طبق آئین نامه استفاده شد (شکل ۵). برای متصل کردن نبشی ها به تیر و ستون از دستور COUPLE استفاده شد. برای جلوگیری از حرکت نبشی ها به سمت تیر و ستون در حین بارگذاری، جزء 52 CONTACT بین دو صفحه نبشی و تیر و هم چنین نبشی و ستون مدل سازی شد. جزء 52 CONTACT در حین بارگذاری در جهت فشاری طبق سختی معرفی شده مقاومت لازم را دارد و در کشش آزادانه عمل می نماید. برای مدل سازی صفحات اجزای مختلف تشکیل دهنده قاب از جزء پوسته ای 181 SHELL استفاده شده است. جزء 181 SHELL برای تحلیل ورق های با ضخامت کم و متوسط مناسب می باشد. این جزء دارای چهار گره با شش درجه آزادی در هر گره می باشد و برای تحلیل های خطی، غیرخطی، تغییر شکل های بزرگ و دوران های بزرگ مناسب می باشد. هم چنین این جزء یکی از سریع ترین اجزا برای همگرایی در حالت کماتش های غیرخطی است [8]. مقاطع تیر و ستون و مهاربندی و ارتفاع و عرض دهانه ی قاب های مدل سازی شده مطابق شکل (۶) می باشد. ابعاد قاب طبق ادبیات فنی موجود به گونه ای توسط تحلیل

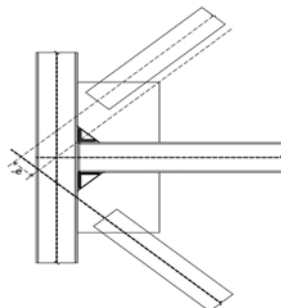
مرکزیت را در این نواحی دقیق تر بررسی کرد (شکل ۴).



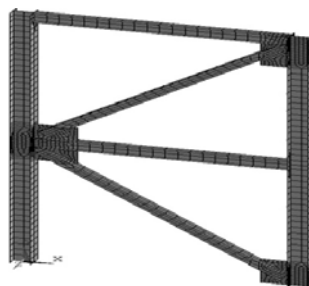
شکل ۱ قاب با اتصال همگرا



شکل ۲ قاب با خروج از مرکزیت اعمالی در تیر



شکل ۳ قاب با خروج از مرکزیت اعمالی در ستون



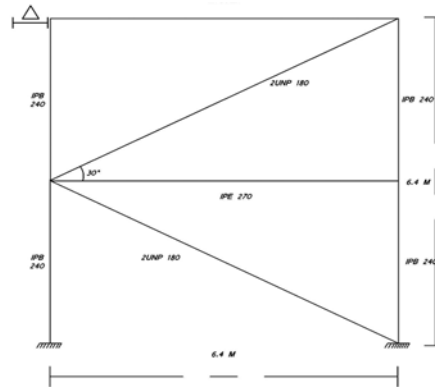
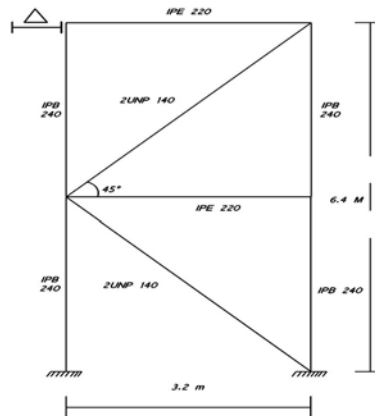
شکل ۴ نحوه ی مش بندی قاب مورد مطالعه

به گام به سازه وارد گردیده است تا سازه به اندازه‌ی تغییر مکان هدف تغییر شکل یابد. برای مدل‌سازی نقش مهارکننده‌ی کف‌ها بر تیرها، بال بالایی تیرهای هر دو طبقه در جهت عمود بر محور قاب مقید شدند، همچنین برای ایجاد رفتار یکپارچه‌ی هر طبقه، ستون‌های هر طبقه در تراز نهایی همان طبقه مقید شدند. فرضیات اساسی برای ساده‌سازی خصوصیات مکانیکی فولاد عبارتند از: مدول الاستیسیته: 210 GPa ، نسبت پواسون: $0/3$ ، تنش تسلیم: 240 MPa و $E_t=0.01E$

بررسی نتایج تحلیل بار افزون

نتایج حاصل از تحلیل نمونه‌های با اتصال خارج از مرکز عبوری از تیر. مدل‌های دارای خروج از مرکزیت ۵ و ۱۰ و ۱۵ سانتی‌متر تحت بارگذاری بار افزون قرار گرفتند و نمودار پوش آن‌ها در قاب‌های با زاویه‌ی مهاربندی ۴۵ و ۳۰ درجه مطابق شکل‌های (۸) و (۷) می‌باشد. مطابق شکل‌های (۸) و (۷) نمونه‌های با خروج از مرکزیت ۵ و ۱۰ سانتی‌متر رفتاری تقریباً مشابه با افزایش تغییرمکان جانبی از خود نشان دادند که این رفتار با توجه به افزایش ۱۷ و ۲۷ درصدی مقاومت نهایی سازه به ترتیب در شکل‌های (۸) و (۷) نسبت به مدل همگرا، نشان‌دهنده‌ی عملکرد نامطلوبی تا خروج از مرکزیت ۱۰ سانتی‌متر نبود. علت آن را می‌توان جابه‌جایی محل اتصال مهاربند به صفحه‌ی اتصال و حرکت آن به سمت میانه‌ی دهانه‌ی تیر و عملکرد مهاربند به عنوان مهار جانبی برای تیر طبقه‌ی اول ذکر نمود. به همین دلیل چرخش تیر و صفحه اتصال در ناحیه اعمال خروج از مرکزیت حول محور طولی تیر نسبت به مدل همگرا کاهش یافت (شکل ۹-الف و ۹-ب)؛ اما با گذر از خروج از مرکزیت ۱۰ سانتی‌متر و رسیدن به خروج از مرکزیت ۱۵ سانتی‌متری، طول اتصال مهاربند به صفحه اتصال کاهش یافت و به همین دلیل نقش مهاربندی مهاربند کاهش و چرخش حول محور طولی تیر افزایش یافت

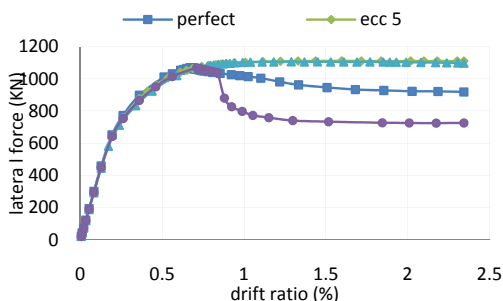
استاتیکی غیرخطی در نرم‌افزار SAP مطابق آیین‌نامه FEMA-356 طراحی شدند. در این صورت سازه فرصت کافی برای ورود به ناحیه‌ی غیرخطی را دارد و می‌توان اثرات کرنش پلاستیک را در آن بررسی کرد. ابعاد صفحه اتصال در قاب‌های با زاویه مهاربندی ۴۵ درجه، $0/55 \times 0/55 \times 0/01 \text{ m}$ و در قاب‌های با زاویه مهاربندی ۳۰ درجه، $0/65 \times 0/65 \times 0/012 \text{ m}$ می‌باشد.



شکل ۶. نمای کلی قاب‌های مورد مطالعه تحت تغییر مکان Δ در بام

شرایط مرزی و محل اعمال بار در مدل‌های مورد مطالعه مطابق شکل (۶) می‌باشد. در این مدل‌ها از دو تکیه‌گاه صلب در پایین قاب استفاده شد و یک تغییرمکان جانبی در محل نمایش داده‌شده اعمال گردیده است. تغییر مکان‌ها به صورت تدریجی و گام

ناحیه را با نصب سخت‌کننده کاهش داد و رفتار مطلوب‌تری از سازه انتظار داشت. تنها تفاوت نحوه‌ی توزیع کرنش پلاستیک‌ها در دو زاویه‌ی ۴ و ۳۰ درجه مهاربندی، محل حداکثر کرنش پلاستیک و مقدار آن می‌باشد.

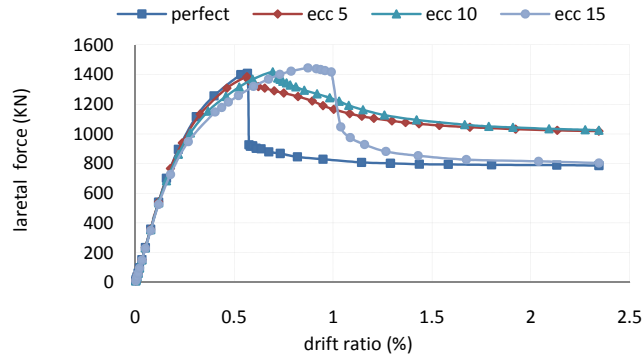


شکل ۷ مقایسه نمودارهای پش خروج از مرکزیت عبوری از تیر در قاب با مهاربندی ۴۵ درجه

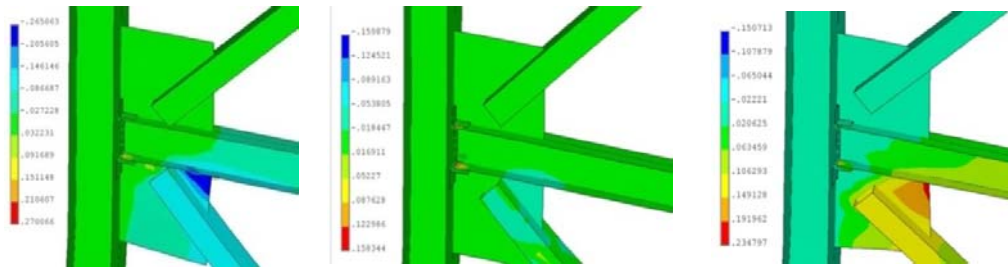
همان‌طور که در نمودار توزیع کرنش پلاستیک مهاربندی ۴۵ درجه مشاهده شد، در همه‌ی نمونه‌ها، مقادیر حداکثر کرنش پلاستیک در نقطه‌ای خاص و واحد بود؛ اما در مهاربندی ۳۰ درجه مشاهده شد که در خروج از مرکزیت‌های مختلف، محل حداکثری کرنش پلاستیک متفاوت است و با افزایش مقادیر خروج از مرکزیت، محل حداکثری کرنش پلاستیک به سمت میانه‌ی دهانه جابه‌جا می‌شود (شکل ۱۱ ب). به همین خاطر در خروج از مرکزیت ۱۵ سانتی‌متر و احتمالاً بالاتر، در مهاربندی ۳۰ درجه با جابه‌جا شدن کرنش‌های پلاستیک به سمت میانه‌ی دهانه‌ی تیر، سازه به سمت رفتاری نامطلوب و تخریبی پیش می‌رود. هم‌چنین کرنش پلاستیک معادل در خروج از مرکزیت ۱۵ سانتی‌متری، قاب با مهاربندی ۳۰ درجه حدود ۵۰ درصد بیشتر از خروج از مرکزیت مشابه در قاب با مهاربندی ۴۵ درجه می‌باشد که نشان‌دهنده‌ی بحرانی‌تر بودن خروج از مرکزیت عبوری از تیر در قاب با مهاربندی ۳۰ درجه نسبت به قاب با مهاربندی ۴۵ درجه می‌باشد.

(شکل ۹-ج). این امر موجب کم‌مانش خارج از صفحه‌ی مهاربند و افت ۲۰ درصدی مقاومت در قاب با مهاربندی ۴۵ درجه و کاهش ۴۰ درصدی شکل‌پذیری در قاب با مهاربندی ۳۰ درجه شد.

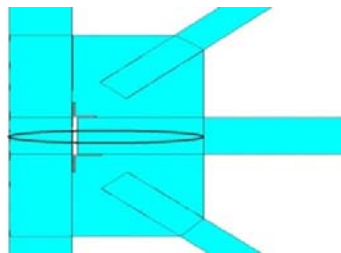
در شکل (۱۱) توزیع کرنش پلاستیک معادل فون مسیز نمونه‌ها در طول ناحیه اعمال خروج از مرکزیت (شکل ۱۰) در محل تیر طبقه اول نشان داده شده است. برای بررسی، بهتر این ناحیه به دو بخش تقسیم شد. ناحیه‌ی اول مربوط به طولی است که از ابتدای چشمه اتصال شروع می‌شود و تا پشت بال ستون ادامه می‌یابد و برابر ۲۴ سانتی‌متر است (شکل ۱۰). مطابق شکل (۱۱-الف) مشاهده شد که در ناحیه‌ی اول با افزایش خروج از مرکزیت و دور شدن محل تقاطع میان تار مهاربندها از مرکز چشمه اتصال، کرنش پلاستیک کاهش یافت. علت این امر همان‌طور که ذکر شد، دور شدن محل تقاطع میان تارهای مهاربندها از مرکز چشمه اتصال و انتقال نیروی محوری مهاربند از مرکز چشمه اتصال به خارج از چشمه اتصال می‌باشد. با رسیدن به بال ستون به دلیل باز توزیع تنش افزایش سطح تسلیم به وجود آمد که باعث کاهش کرنش پلاستیک شد. در ناحیه‌ی دوم که از ابتدای بال ستون شروع می‌شود و تا انتهای صفحه اتصال ادامه می‌یابد، مشاهده شد که با افزایش خروج از مرکزیت، کرنش پلاستیک در همه‌ی نمونه‌ها در نقطه‌ای واحد افزایش می‌یابد؛ به خصوص که در خروج از مرکزیت ۱۵ سانتی‌متری، افزایش چشمگیر کرنش پلاستیک مشاهده شد که می‌تواند دلیلی بر بحرانی بودن این خروج از مرکزیت باشد. هم‌چنین در کلیه نمونه‌های دارای خروج از مرکزیت، افت شدید کرنش پلاستیک پس از گذر از نقطه‌ی بحرانی که نقطه‌ای به فاصله ۴۴ سانتی‌متر از ابتدای چشمه اتصال و تقریباً در وسط طول، صفحه اتصال به تیر می‌باشد مشاهده شد. با توجه به قرار گرفتن نقطه‌ی بحرانی کرنش پلاستیک همه‌ی نمونه‌ها در یک نقطه و قرار گرفتن آن تقریباً در وسط طول صفحه اتصال، می‌توان کرنش پلاستیک این



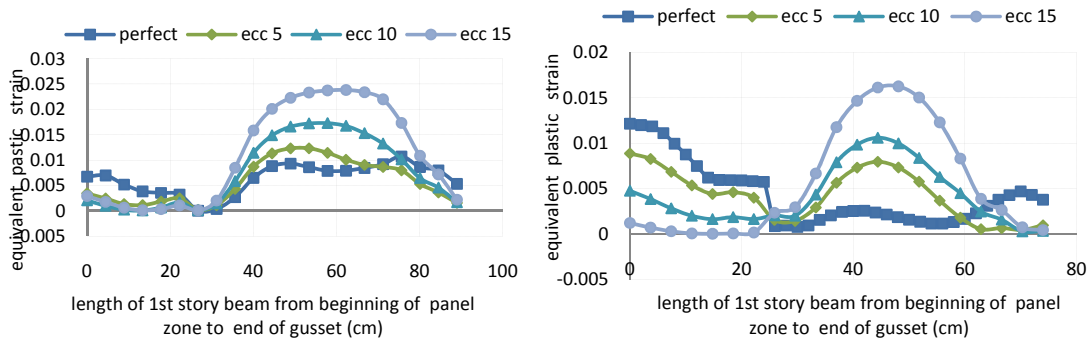
شکل ۸: مقایسه‌ی نمودارهای پوش خروج از مرکزیت عبوری از تیر در قاب با مهاربندی ۳۰ درجه



شکل ۹: مقایسه‌ی کانتور دوران حول محور طولی تیر در نمونه‌ی همگرا و نمونه‌های دارای خروج از مرکزیت ۱۰ و ۱۵ سانتی‌متری در قاب با مهاربندی ۴۵ درجه



شکل ۱۰: محل بررسی توزیع کرنش پلاستیک معادل در خروج از مرکزیت عبوری از تیر



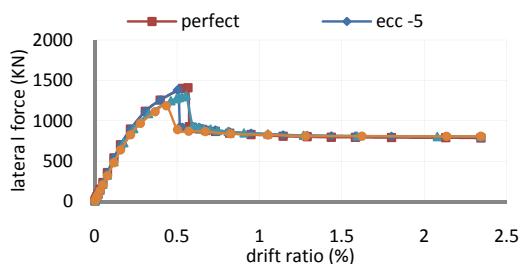
ب: قاب‌های مهاربندی ۳۰ درجه

الف: قاب‌های مهاربندی ۴۵ درجه

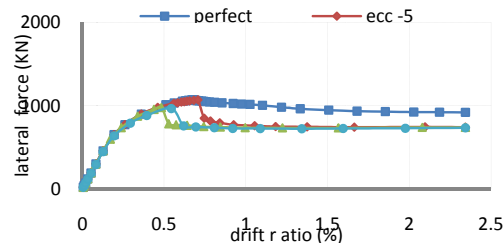
شکل ۱۱: توزیع کرنش پلاستیک معادل در طول ناحیه‌ی اعمال خروج از مرکزیت عبوری از تیر در قاب‌های با مهاربندی ۳۰ و ۴۵ درجه

نمونه‌ها دچار کاهش ۱۰ درصدی مقاومت حد تسلیم شدند. در قابهای با زاویه مهاربندی ۳۰ درجه با افزایش خروج از مرکزیت به ترتیب مقاومت حد تسلیم ۲، ۷ و ۱۵ درصد کاهش یافت. شکل (۱۳)؛ که علت را می‌توان همانند مهاربندی ۴۵ درجه، افزایش رشد مفاصل پلاستیک با افزایش مقادیر خروج از مرکزیت بیان کرد. در این نوع از خروج از مرکزیت، قاب‌های دارای مهاربندی ۴۵ درجه با توجه به افت مقاومت و افزایش کماتش خارج از صفحه مهاربند فشاری، رفتاری به مراتب نامطلوب‌تر از قاب‌های دارای مهاربندی ۳۰ درجه از خود نشان دادند. در شکل (۱۶) توزیع کرنش پلاستیک معادل فون مسیز نمونه‌ها در طول ناحیه‌ی اعمال خروج از مرکزیت عبوری از ستون (شکل ۱۵) نشان داده شده است.

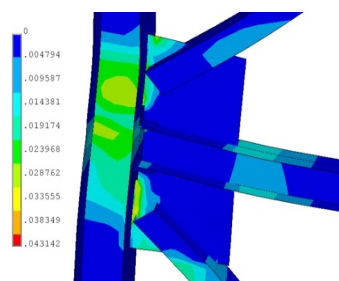
نتایج حاصل از تحلیل نمونه‌های با اتصال خارج از مرکز عبوری از ستون. مدل‌های دارای خروج از مرکزیت ۵- و ۱۰- و ۱۵- سانتی‌متر تحت بارگذاری بار افزون قرار گرفتند و نمودار پوش آنها در قابهای با زاویه مهاربندی ۴۵ و ۳۰ درجه مطابق شکل های (۱۲ و ۱۳) می‌باشد. همان طور که در شکل (۱۲) مشاهده می‌شود در هر سه نمونه‌ی دارای خروج از مرکزیت، مقاومت نهایی به طرز چشمگیری و حدود ۲۰ درصد کاهش پیدا کرد. کاهش مقاومت نهایی نمونه‌های خروج از مرکز به علت کماتش خارج از صفحه مهاربند فشاری طبقه اول می‌باشد. در نمونه با خروج از مرکزیت ۵- سانتیمتر، کاهش در مقاومت حد تسلیم مشاهده نشد؛ اما در نمونه‌های با خروج از مرکزیت ۱۰-، ۱۵- سانتی متر به علت رشد مفاصل پلاستیک در ستون (شکل های ۱۴ ب و ۱۴ ج)



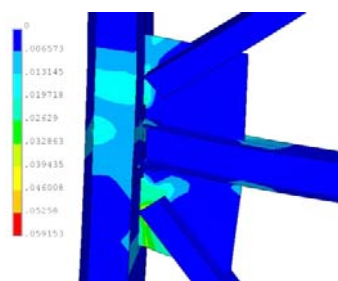
شکل ۱۳: مقایسه‌ی نمودارهای پوش خروج از مرکزیت عبوری از ستون در قاب با مهاربندی ۳۰ درجه



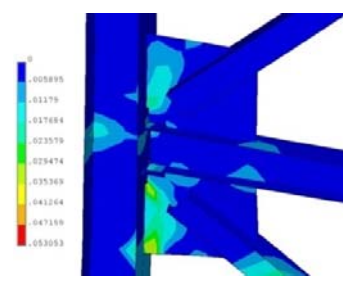
شکل ۱۲: مقایسه‌ی نمودارهای پوش خروج از مرکزیت عبوری از ستون در قاب با مهاربندی ۴۵ درجه



ج) قاب با خروج از مرکزیت ۱۵- سانتی متری



ب) قاب با خروج از مرکزیت ۱۰- سانتی متری

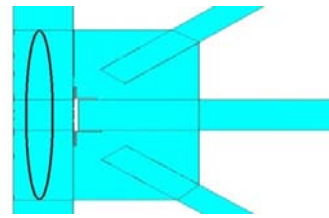


الف) قاب بدون خروج از مرکزیت

شکل ۱۴: مقایسه‌ی کانتور کرنش پلاستیک معادل در نمونه‌ی همگرا و نمونه‌های دارای خروج از مرکزیت ۱۰- و ۱۵- سانتی متری در قاب با مهاربندی ۴۵ درجه

کاهش اثرات نامطلوب خروج از مرکزیت عبوری از تیر در قاب‌های با مهاربندی ۴۵ درجه. با توجه به شکل‌های (۷ و ۱۱-الف) و نتایج بررسی شده، نمونه‌ی با خروج از مرکزیت ۱۵ سانتی‌متری، نمونه‌ی بحرانی شناخته شد. با توجه به ناحیه‌ای که کرنش پلاستیک در نمونه‌ی ذکر شده حداکثر می باشد (شکل ۱۹)، برای کاهش مقادیر کرنش پلاستیک در ناحیه بحرانی، سخت‌کننده‌هایی به ضخامت یک سانتی‌متر بین دو بال تیر طبقه اول در ناحیه اعمال خروج از مرکزیت مدل‌سازی شد (شکل ۱۷). ۴ سخت‌کننده‌ها به فاصله‌ی تقریبی ۵ سانتی‌متر از هم در میانه‌ی طول صفحه‌ی اتصال مدل‌سازی شد و پس از بارگذاری بار افزون، نمودار بار افزون، مدل با سخت‌کننده رسم شد (شکل ۱۸). همان‌طور که در شکل (۱۸) مشاهده می‌شود افت مقاومت در مدل دارای خروج از مرکزیت بدون سخت‌کننده نسبت به مدل همگرا ۲۰٪ می‌باشد در حالی‌که این افت مقاومت با نصب سخت‌کننده در ناحیه‌ی اعمالی خروج از مرکزیت به ۱۳٪ کاهش یافت و همچنین با توجه به شکل (۱۹) که نشان‌دهنده‌ی نحوه‌ی توزیع کرنش پلاستیک در طول چشمه‌ی اتصال و صفحه‌ی اتصال می‌باشد، مشاهده شد با نصب سخت‌کننده در ناحیه‌ی اعمال خروج از مرکزیت مقادیر کرنش پلاستیک در ناحیه مذکور کاهش چشمگیر ۴۵ درصدی دارد.

کاهش اثرات نامطلوب خروج از مرکزیت عبوری از ستون در قاب‌های با مهاربندی ۴۵ درجه. با توجه به بررسی انجام‌شده و نتایج به‌دست‌آمده، همه‌ی مدل‌هایی که راستای خروج از مرکزیت اعمالی آن‌ها از ستون می‌گذشت عملکرد مناسبی نسبت به حالت همگرا از خود نشان ندادند؛ خصوصاً نمونه‌ای که دارای حداکثر خروج از مرکزیت (۱۵- سانتی‌متر) بود به همین علت با نصب دو سخت‌کننده در میانه‌ی امتداد دو صفحه اتصال در راستای ستون (شکل ۲۰) سعی در بهبود عملکرد نمونه‌ی دارای خروج از

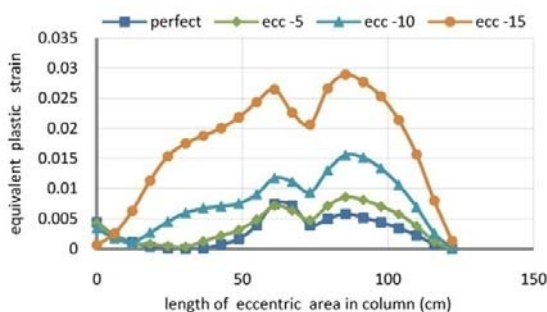


شکل ۱۵ محل بررسی توزیع کرنش پلاستیک معادل در خروج از مرکزیت عبوری از ستون

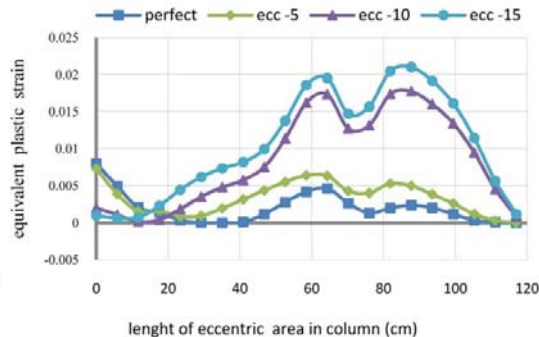
همان‌طور که در شکل (۱۶-الف) مشاهده می‌شود در قاب‌های با مهاربندی ۴۵ درجه با افزایش مقادیر خروج از مرکزیت، مقادیر کرنش پلاستیک در ناحیه‌ی اعمال اتصال خارج از مرکز افزایش یافت. این افزایش در خروج از مرکزیت ۱۵- سانتی‌متری به‌طور چشمگیری مشاهده شد. همچنین در قاب‌های با مهاربندی ۳۰ درجه با افزایش مقادیر خروج از مرکزیت، مقادیر کرنش پلاستیک در ناحیه‌ی مزبور افزایش یافت (شکل ۱۶-ب). این افزایش، در خروج از مرکزیت ۱۰- و ۱۵- سانتی‌متر به‌طور چشمگیری افزایش یافت. همان‌طور که گفته شد علت آن رشد مفاصل پلاستیک در محل مزبور می‌باشد. بنابراین، در مهاربندی ۳۰ درجه می‌توان خروج از مرکزیت ۱۰- و ۱۵- سانتی‌متر را خروج از مرکزیت‌های بحرانی اعلام کرد. با توجه به رشد مفاصل پلاستیک در ستون، خروج از مرکزیت بحرانی مطابق شکل‌های (۱۶-الف و ۱۶-ب) شرایط نامطلوبی را برای سازه ایجاد می‌کند و می‌تواند باعث ایجاد طبقه‌ی نرم در سازه شود. همچنین مقدار حداکثر کرنش پلاستیک در خروج از مرکزیت ۱۵- سانتی‌متری در قاب با مهاربندی ۴۵ درجه حدود ۴۰ درصد بیشتر از خروج از مرکزیت مشابه در قاب با مهاربندی ۳۰ درجه می‌باشد که نشان‌دهنده‌ی بحرانی‌تر بودن خروج از مرکزیت در قاب‌های با مهاربندی ۴۵ درجه می‌باشد.

کرنش پلاستیک در امتداد دو صفحه اتصال در راستای ستون می‌باشد. مشاهده شد که با نصب دو سخت‌کننده در ناحیه‌ی اعمال خروج از مرکزیت در میانه‌ی طول صفحه‌ی اتصال، مقادیر کرنش پلاستیک در ناحیه‌ی مذکور ۶۰٪ نسبت به مدل دارای خروج از مرکزیت ۱۵- سانتی‌متری بدون سخت‌کننده کاهش پیدا کرد.

مرکزیت ۱۵- سانتی‌متری شد. با توجه به شکل (۲۱) مشاهده شد که با نصب سخت‌کننده، افت مقاومت نمونه‌ی دارای سخت‌کننده نسبت به مدل همگرا به ۱۲٪ کاهش یافت در حالی که در نمونه‌ی بدون سخت‌کننده این افت مقاومت ۲۰٪ می‌باشد. هم‌چنین با توجه به شکل (۲۲) که نشان‌دهنده نحوه‌ی توزیع

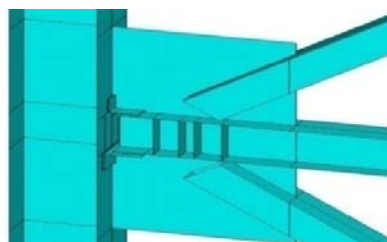


ب) قاب‌های با مهاربندی ۳۰ درجه

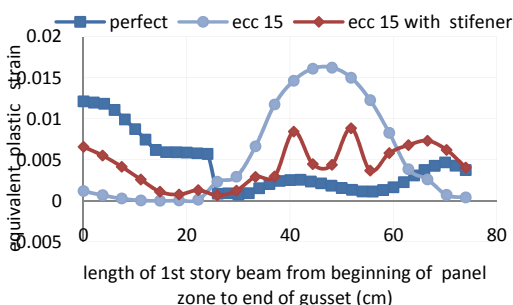


الف) قاب‌های با مهاربندی ۴۵ درجه

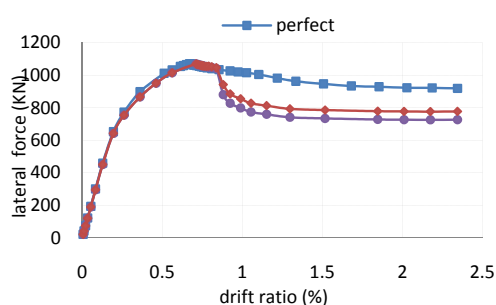
شکل ۱۶ توزیع کرنش پلاستیک معادل در طول ناحیه‌ی اعمال خروج از مرکزیت عبوری از ستون در قاب‌های با مهاربندی ۳۰ و ۴۵ درجه



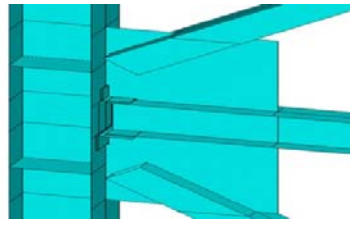
شکل ۱۷ قاب با خروج از مرکزیت ۱۵ سانتی‌متری با سخت‌کننده



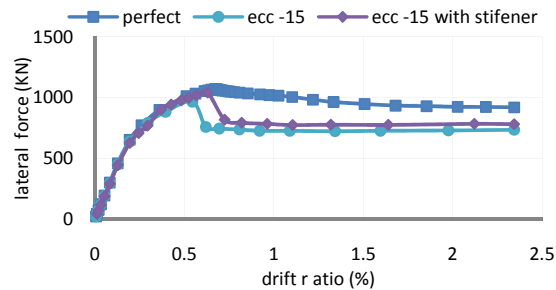
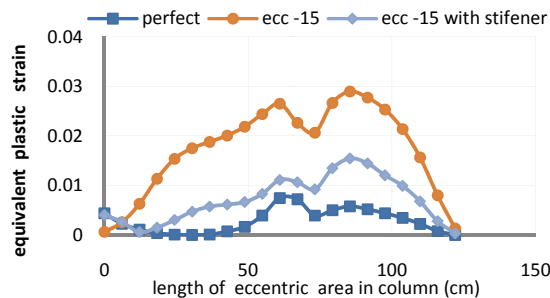
شکل ۱۹ مقایسه‌ی نحوه‌ی توزیع کرنش پلاستیک معادل خروج از مرکزیت ۱۵ سانتی‌متری با و بدون سخت‌کننده



شکل ۱۸ مقایسه‌ی نمودارهای پوش خروج از مرکزیت ۱۵ سانتی‌متری با و بدون سخت‌کننده



شکل ۲۰ قاب با خروج از مرکزیت ۱۵- سانتی متری با سخت کننده



شکل ۲۲ مقایسه‌ی نحوه‌ی توزیع کرنش پلاستیک معادل خروج از مرکزیت ۱۵- سانتی متری با و بدون سخت کننده

شکل ۲۱ مقایسه‌ی نمودارهای پوش خروج از مرکزیت ۱۵- سانتی متری با و بدون سخت کننده

به مدل همگرا، از خروج از مرکزیت عبوری از تیر در قاب‌های با مهاربندی ۴۵ درجه بحرانی‌تر شناخته شد. در خروج از مرکزیت درون صفحه‌ای عبوری از ستون هیچ گونه حاشیه‌ی اطمینان و منطقه‌ای امن برای عدم رعایت قوانین آیین‌نامه مشاهده نشد و نمونه‌ها با ایجاد کوچک‌ترین خروج از مرکزیت با افت ۲۰ درصدی مقاومت نهایی مواجه شدند. در این نوع از خروج از مرکزیت قاب‌های دارای مهاربندی ۴۵ درجه با توجه به افت مقاومت و افزایش تغییر مکان خارج از صفحه‌ی مهاربند فشاری، عملکردی به مراتب نامطلوب‌تر از قاب‌های دارای مهاربندی ۳۰ درجه از خود نشان دادند. همچنین مقدار حداکثر کرنش پلاستیک در خروج از مرکزیت ۱۵- سانتی متری در قاب با مهاربندی ۴۵ درجه حدود ۴۰ درصد بیشتر از خروج از مرکزیت مشابه در قاب با مهاربندی ۳۰ درجه شد که نشان دهنده‌ی بحرانی‌تر بودن خروج از

نتیجه گیری

بررسی نشان داد که حاشیه‌ی اطمینانی برای عدم رعایت قوانین آیین‌نامه در قاب‌های دارای خروج از مرکزیت درون صفحه‌ای عبوری از تیر وجود دارد. در این منطقه‌ی امن، با افزایش خروج از مرکزیت تا ۱۰ سانتی متر، عملکرد نامطلوبی مشاهده نشد و افزایش ۱ و ۱۷ درصدی مقاومت حد تسلیم و مقاومت نهایی سازه نسبت به مدل همگرا مشاهده شد. اما با خروج از این منطقه‌ی امن افزایش چشمگیر تغییر مکان خارج از صفحه مهاربند فشاری و در نتیجه افت مقاومت مشاهده شد. خروج از مرکزیت درون صفحه‌ای عبوری از تیر در خارج از منطقه‌ی امن (۱۵ سانتی متر) در قاب‌های با مهاربندی ۳۰ درجه به علت بیشتر بودن مقادیر کرنش پلاستیک معادل آن‌ها در نقطه‌ی بحرانی و همچنین کاهش ۴۰ درصدی شکل پذیری آن نسبت

همگرا مشابه از ۲۰ درصد به ۱۳ درصد کاهش پیدا کرد. هم‌چنین مقادیر کرنش پلاستیک هم در ناحیه‌ی مذکور کاهش چشمگیر ۴۵ درصدی پیدا کرد. هم‌چنین این سخت‌کننده‌ها در مدل‌های دارای خروج از مرکزیت درون صفحه‌ای عبوری از ستون افت مقاومت را نسبت به نمونه‌ی همگرا از ۲۰ درصد به ۱۲ درصد کاهش دادند و باعث کاهش ۶۰ درصدی مقادیر کرنش پلاستیک معادل در ناحیه‌ی بحرانی نسبت به حالت بدون سخت‌کننده شدند.

مرکزیت عبوری از ستون در قاب‌های با مهاربندی ۴۵ درجه می‌باشد.

در مقایسه‌ی خروج از مرکزیت درون صفحه‌ای عبوری از تیر و عبوری از ستون، قاب‌های دارای خروج از مرکزیت عبوری از ستون به مراتب عملکرد نامطلوب‌تری نسبت به خروج از مرکزیت عبوری از تیر از خود نشان دادند.

با نصب سخت‌کننده در مدل‌های دارای خروج از مرکزیت درون صفحه‌ای عبوری از تیر در ناحیه‌ی بحرانی (۱۵ سانتی‌متر) افت مقاومت نسبت به نمونه‌ی

مراجع

1. Richard, R. M., "Analysis of large Bracing Connection Designs for Heavy Construction", *National Steel Construction Conference Proceedings, American Institute of Steel Construction, Chicago, Illinois*, pp. 31.7-31.24, (1986).
2. Gross, J. L., and Cheock, G., "Experimental Study of Gusseted Connections for Laterally Braced Steel Building", *National Institute of Standard and Technology, Gathersburg, Maryland.*, (1988).
3. Astaneh-Asl, A., "Cyclic Tests and Seismic Design of Steel Gusset Plate in Buildings", *proceedings of the 3rd International Conference on Seismology and Earthquake Engineering(SEE3), Tehran, I.R. Iran.*, (1999).
4. Astaneh- Asl, A., "Seismic Behavior and Design of steel Gusset plates", *Steel tips, AISC.*, (1998).
5. Astaneh-Asl, A., Subhash, A. M., and Hanson, R. D., "Cyclic out – of – plane Buckling of Double Angle Bracing", *Journal of structural Engineering* Vol. 111, No. 5, Paper No. 19727, (1984).
6. Astaneh-Asl, A., Goel, S. C., "Cyclic In – plane Buckling of Double Angle Bracing", *Journal of structural Engineering*, ASCE, 110(9), pp. 1135-1153, (1990).
7. Hosseini Hashemi, B., Behnamfar, F., Ranjbaran, F., "Effects of Local Eccentricity of Connecting Braces on Nonlinear Behavior of Steel Concentric Brace Connections", *journal of Seismology and Earthquake Engineering (JSSE)*, Vol. 10, No. 2, pp. 91-99, (2008).
8. ANSYS User's Manual, Elements, Volume III. Swanson Analysis Systems, Inc, (2006).
9. زهرائی، سید مهدی، «بررسی علل ضعف اجرای ساختمان‌های فولادی در کشور» پژوهشنامه‌ی زلزله‌شناسی و مهندسی زلزله، سال ششم، ش دو، ت، (۱۳۸۲).